

**ПОПЕРЕЧНЫЕ ИМПУЛЬСЫ АЛЬФА-ФРАГМЕНТОВ  
ИЗ ВЗАИМОДЕЙСТВИЙ НЕОНА-22 С ЯДРАМИ ФОТОЭМУЛЬСИИ  
ПРИ ИМПУЛЬСЕ 4,1 А ГэВ/с**

*Н.П. Андреева<sup>1)</sup>, З.В. Анзор<sup>1)</sup>, В.И. Бубнов<sup>1)</sup>, А.Ш. Гайтинов<sup>1)</sup>,  
 Л.Е. Еременко<sup>1)</sup>, Г.С. Калячкина<sup>1)</sup>, Э.К. Каныгина<sup>1)</sup>, А.М. Сейтимбетов<sup>1)</sup>,  
 И.Я. Часников<sup>1)</sup>, Ц.И. Шахова<sup>1)</sup>, М. Гицок<sup>2)</sup>, В. Топор<sup>2)</sup>, М. Хайдук<sup>2)</sup>,  
 Ф.Г. Лепехин<sup>3)</sup>, Б.Б. Симонов<sup>3)</sup>, С.А. Краснов<sup>4)</sup>, К.Д. Толстов<sup>4)</sup>, Г.С. Шабратова<sup>4)</sup>,  
 Дж.А. Саломов<sup>5)</sup>, В.А. Лескин<sup>6)</sup>, А.В. Белоусов<sup>7)</sup>, Ф.А. Аветян<sup>8)</sup>, В.М. Крищян<sup>8)</sup>,  
 Н.А. Марутян<sup>8)</sup>, Л.Г. Саркисова<sup>8)</sup>, В.Ф. Саркисян<sup>8)</sup>, С. Вокал<sup>9)</sup>, М. Карабова<sup>9)</sup>,  
 Э. Силеш<sup>9)</sup>, М. Тотова<sup>9)</sup>, Х. Вольтер<sup>10)</sup>, Б. Восек<sup>10)</sup>, Э. Гладыш<sup>10)</sup>,  
 Р. Холынский<sup>10)</sup>, В.А. Антончик<sup>11)</sup>, В.А. Бакаев<sup>11)</sup>, С.Д. Богданов<sup>11)</sup>,  
 В.И. Остроумов<sup>11)</sup>, М.И. Адамович<sup>12)</sup>, В.Г. Ларионова<sup>12)</sup>, Н.В. Масленникова<sup>12)</sup>,  
 Г.И. Орлова<sup>12)</sup>, Н.А. Салманова<sup>12)</sup>, М.И. Третьякова<sup>12)</sup>, С.П. Харламов<sup>12)</sup>,  
 М.М. Чернявский<sup>12)</sup>, М. Шумбера<sup>13)</sup>, У.А. Абдуразакова<sup>14)</sup>, А.Х. Бабаев<sup>14)</sup>,  
 Е.С. Басова<sup>14)</sup>, Л.Е. Бенгус<sup>14)</sup>, А.И. Бондаренко<sup>14)</sup>, У.Г. Гулямов<sup>14)</sup>,  
 Т.П. Трофимова<sup>14)</sup>, Р.У. Холматова<sup>14)</sup>, Г.М. Чернов<sup>14)</sup>, А.Абдужамилов<sup>15)</sup>,  
 Ш. Абдужамилов<sup>15)</sup>, С.А. Азимов<sup>15)</sup>, С. Гаджиева<sup>15)</sup>, К.Г. Гуламов<sup>15)</sup>,  
 А. Жуманов<sup>15)</sup>, Н.С. Лукичева<sup>15)</sup>, Д. Мирходжаева<sup>15)</sup>, В.Ш. Навотный<sup>15)</sup>,  
 Н.Ш. Сайдханов<sup>15)</sup>, Л.П. Свечникова<sup>15)</sup>, Л.П. Чернова<sup>15)</sup>, Н.И. Костанашвили<sup>16)</sup>,  
 Л. Сэрдамба<sup>17)</sup>, Р. Тогоо<sup>17)</sup>, Д. Тувдендорж<sup>17)</sup>*

На статистике 4156 взаимодействий ядер неона-22 с фотоэмulsionей при 4,1 А ГэВ/с показано, что выход  $\alpha$ -частиц выше, чем остальных фрагментов (0,8  $\alpha$ -частиц и 0,5  $z \geq 3$  на звезду). Распределение поперечных импульсов  $\alpha$ -частиц имеет избыток при больших значениях, зависящий от типа налетающего ядра и мишени, а также характера взаимодействия.

1. Столки ядерной фотоэмulsionии ГОСНИИХИМФОТОПРОЕКТ типа БР-2, составленные из слоев размером  $10 \times 20 \times 0,06$  см<sup>3</sup>, были облучены ядрами неона-22 на синхрофазotronе ЛВЭ ОИЯИ. Поиск взаимодействия велся просмотром вдоль следа, что позволило получить ансамбль событий без дискриминации. Описание эксперимента приведено в работе<sup>1</sup>.

- 
- <sup>1)</sup> Институт физики высоких энергий, Алма-Ата
  - <sup>2)</sup> Центральный институт физики, Бухарест, СРР.
  - <sup>3)</sup> ЛИЯФ им. Б.П. Константина АН СССР
  - <sup>4)</sup> Объединенный институт ядерных исследований, Дубна.
  - <sup>5)</sup> Таджикский государственный университет, Душанбе.
  - <sup>6)</sup> Физико-технический институт, Душанбе.
  - <sup>7)</sup> Институт механизации сельского хозяйства, Зерноград.
  - <sup>8)</sup> Ереванский физический институт
  - <sup>9)</sup> Университет, Кошице, ЧССР.
  - <sup>10)</sup> Институт ядерной физики, Краков.
  - <sup>11)</sup> Ленинградский политехнический институт, Ленинград.
  - <sup>12)</sup> Физический институт им. П.Н. Лебедева АН СССР.
  - <sup>13)</sup> Институт ядерной физики, Реж, ЧССР.
  - <sup>14)</sup> Институт ядерной физики АН УзССР, Ташкент.
  - <sup>15)</sup> Физико-технический институт АН УзССР, Ташкент.
  - <sup>16)</sup> Тбилисский государственный университет.
  - <sup>17)</sup> Институт физики и техники, Улан-Батор, МНР.

Релятивистские  $\alpha$ -частицы выделялись до углов с первичным ядром снаряда  $\theta \leq 15^\circ$ :  
 а) отделялись от ядер с  $z = 3$  по измерению числа разрывов с длиной больше некоторой,  
 б) требовалось, чтобы начальная ионизация  $J/J_{min} = 4$  и на длине  $l > 2$  см не изменялась  
 для протонов с  $J/J_{min} = 4$   $p\beta c = 200$  МэВ и на  $l = 2$  см ионизация изменяется от 4-х кратной до 8-ми кратной минимальной).

Поперечный импульс  $\alpha$ -фрагментов определялся по формуле  $P_\perp = 2zP_0 \sin \theta$  ( $P_0$  – первичный импульс на нуклон,  $\beta = 0,97$ ). Измерения импульсов по многократному кулоновскому рассеянию для части следов  $\alpha$ -частиц показало, что их импульсы в пределах ошибок согласуются с первичным: а)  $\langle p\beta c \rangle = (15,6 \pm 0,8)$  ГэВ для фрагментов с  $\theta < 0,6^\circ$  (по 8 следам с  $l = 50$  мм каждого), б)  $\langle p\beta c \rangle = (15,3 \pm 0,6)$  ГэВ – среднее по 23 следам  $\alpha$ -фрагментов с  $\theta = (3-15^\circ)$ .

Для всех однозарядных релятивистских частиц с  $\theta \leq 3^\circ$  измерялся импульс по многократному рассеянию, и множественность протонов, дейтонов и тритонов определялась статистически<sup>2</sup>. На части статистики импульс всех однозарядных релятивистских частиц измерялся до углов  $5^\circ$ , в некоторых лабораториях измерялся импульс релятивистских частиц для любых  $\theta$  при глубинном угле до  $5^\circ$ , при этом вводились геометрические поправки<sup>3</sup>.

2. Распределение событий по множественности релятивистских фрагментов для NeEm взаимодействий для различных групп по  $N_h = n_b + n_g$  и суммарному заряду фрагментов ядра снаряда  $Q = \Sigma z_f$  приведено в таблице 1.

Таблица 1

$n_\alpha$	0	1	2	3	4	5	$N_{\text{соб.}}$	$N_\alpha/N_{\text{соб.}}$
$N_h, Q$								
$N_h \geq 0$	2057	1262	509	240	78	10	4156	$0,81 \pm 0,02$
$N_h = 0-1$	457	343	109	66	40	7	1022	$0,93 \pm 0,04$
$N_h = 2-6$	568	425	200	96	26	1	1316	$0,93 \pm 0,03$
$N_h \geq 7$	1032	494	200	78	12	2	1818	$0,65 \pm 0,02$
$N_h \geq 28$	381	80	10	2	1	0	474	$0,23 \pm 0,03$
$Q = 2-4$	405	318	44	0	0	0	767	$0,53 \pm 0,03$
$Q = 5-7$	312	320	272	107	0	0	1011	$1,17 \pm 0,05$
$Q = 8-10$	848	574	177	131	74	9	1808	$0,92 \pm 0,03$

Множественность  $\alpha$ -фрагментов составляет 0,8 на звезду, что заметно превышает выход всех фрагментов с  $z_f \geq 3$  ( $\langle n_{z_f} \geq 3 \rangle = 0,48$ ) и значительно превышает выход тритонов ( $\langle n_t \rangle = 0,14$ )<sup>2</sup>. Множественность  $\alpha$ -фрагментов уменьшается с ростом  $N_h$  и уменьшается примерно в 2 раза при переходе от  $Q \geq 5$  к  $Q = 2-4$ , т.е. с уменьшением прицельного параметра ядро-ядерных взаимодействий. Фрагмент с  $z = 2$  является выделенным: частота появления  $\alpha$ -частиц в 10–15 раз больше, чем любого другого фрагмента с  $z_f = 3-10$ . В наших работах<sup>4-5</sup> также показано, что при фрагментации неона-22 каналы с испусканием  $\alpha$ -частиц выделены по частоте. Сравнение экспериментальных данных с каскадно-испарительной моделью (КИМ) показывает, что в модели занижены или отсутствуют каналы с числом  $n_\alpha \geq 2$  и  $n_\alpha \geq 3$  соответственно.

3. Поперечные импульсы  $\alpha$ -фрагментов определялись по углу их вылета  $P_\perp = 4P_0 \sin \theta$ . На рис. 1 представлены угловые распределения релятивистских  $\alpha$ -частиц для всех взаимодействий. Для сравнения на том же рисунке до углов  $\theta \leq 5^\circ$  представлены угловые распределения релятивистских фрагментов – протонов, которые были выделены на части статистики, исходя из ошибок измерений импульсов отдельных час-

тиц. Из рисунка видно, что для углов  $\theta < 1,5^\circ$ , доля  $\alpha$ -частиц значительно превышает долю протонов, для углов  $\theta > 1,5^\circ$  ситуация противоположная, причем, при росте угла  $\theta$  от  $2^\circ$  до  $5^\circ$ , доля протонов уменьшается примерно в 2 раза, а доля  $\alpha$ -частиц падает примерно на порядок. На рис. 2 представлены угловые распределения  $\alpha$ -фрагментов в зависимости от  $Q$ . Видно, что с уменьшением  $Q$  угловые распределения сильно уширяются.

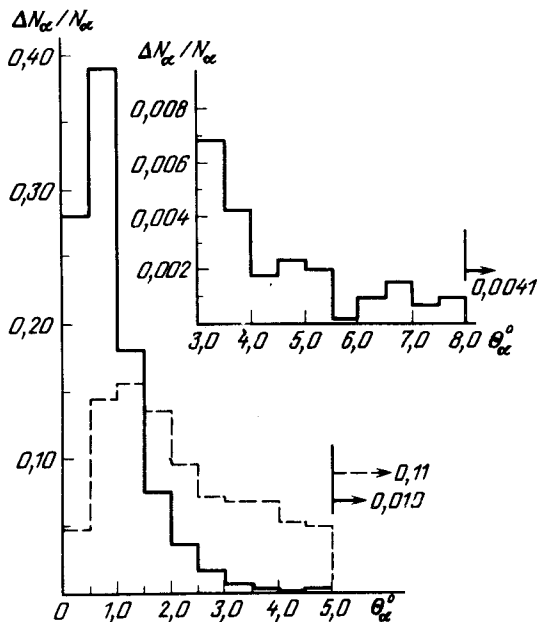


Рис. 1

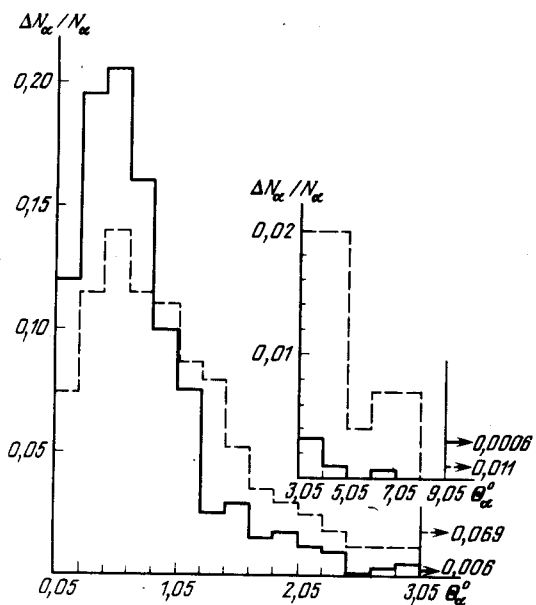


Рис. 2

Рис. 1. Угловые распределения релятивистских  $\alpha$ -частиц и протонов — фрагментов из  $^{22}\text{Ne}$ Em-взаимодействий: —  $\alpha$ -частицы ( $N_{\text{вз}} = 4156$ ;  $N_\alpha = 3381$ ); - - - протоны ( $N_{\text{вз}} = 1180$ ;  $N_p = 1208$ )

Рис. 2. Угловые распределения  $\alpha$ -фрагментов из  $^{22}\text{Ne}$ Em-взаимодействий для различных групп по  $Q$ :  
—  $Q = 8-10$  ( $N_{\text{вз}} = 1649$ ;  $N_\alpha = 1595$ ); - - -  $Q = 2-4$  ( $N_{\text{вз}} = 778$ ;  $N_\alpha = 449$ )

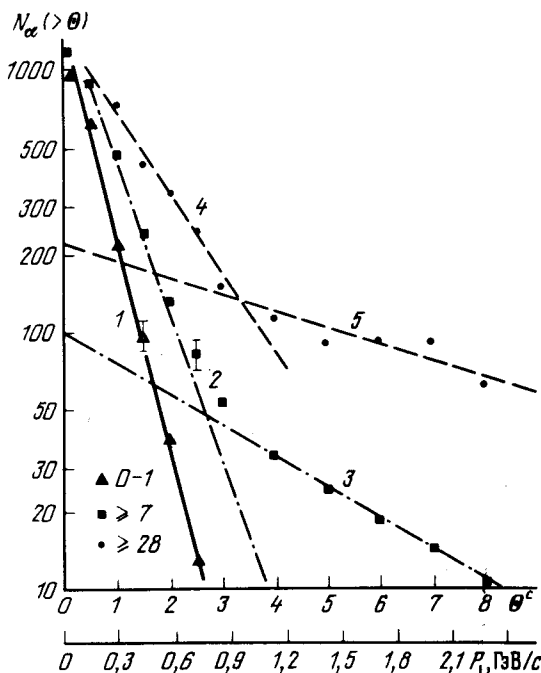


Рис. 3. Интегральные распределения по  $P_\perp$   $\alpha$ -фрагментов из  $^{22}\text{Ne}$ Em-взаимодействий для различных групп по  $N_h$  (указано у точек), для 4 и 5 масштаб:  $N_\alpha (> \theta)$  ( $N_h \geq 28$ ) =  $N_\alpha (> \theta) : 10$

Некоторые результаты детального анализа  $P_{\perp}$  распределений  $\alpha$ -фрагментов приведены в работах <sup>2, 5, 6-8</sup>. Интегральные угловые и соответственно  $P_{\perp}$  распределения релятивистских  $\alpha$ -фрагментов для различных групп взаимодействий по  $N_h$  приведены на рис. 3. Видно, что эти распределения могут быть описаны экспонентами  $N(>\theta) \sim \exp(-\theta/\theta_0)$ , причем наклон экспонент зависит от  $N_h$ . В таблице 2 приведены значения  $\theta_0$ -экспонент, а также  $\langle P_{\perp} \rangle$   $\alpha$ -частиц. Из анализа данных рис. 2-3 и табл. 2 следует, что как для всех взаимодействий, так и для групп взаимодействий  $N_h \geq 7$  и  $N_h \geq 28$  угловые распределения  $\alpha$ -частиц описываются двумя экспонентами, наклон которых отличается в 4-5 раз, причем для событий с  $N_h \geq 7$  и  $N_h \geq 28$  доля  $\alpha$ -частиц второй экспоненты составляет около 10 и 20% соответственно.

Таблица 2

$N_h$	$\theta_0$ , град	$\langle \theta \rangle$ , град	$\langle P_{\perp} \rangle$ , ГэВ/с	$N_{\alpha}$
Ne + Em, $P_0 = 4,1$ ГэВ/с на нуклон				
0-1	0,50	$0,77 \pm 0,02$	$0,217 \pm 0,007$	954
2-6	0,60	$0,91 \pm 0,02$	$0,261 \pm 0,005$	1222
	2,5			
$\geq 7$	0,80	$1,16 \pm 0,04$	$0,332 \pm 0,013$	1186
	3,5			
$\geq 28$	1,5	$2,19 \pm 0,03$	$0,63 \pm 0,09$	110
	6,5			
$\geq 0$	0,65	$0,955 \pm 0,016$	$0,273 \pm 0,004$	3362
	3,5			
C + Em <sup>9</sup> , $P_0 = 4,5$ ГэВ/с на нуклон				
$\geq 0$	0,50	$0,76 \pm 0,03$	$0,241 \pm 0,008$	1128
Fe + Em <sup>10</sup> , $E_0 = 1,7$ ГэВ на нуклон				
$\geq 0$			$0,370 \pm 0,010$	-

Средний  $\langle P_{\perp} \rangle_{\alpha}$  растет с ростом  $N_h$  и уменьшением  $Q$ .

Авторы работ <sup>11-13</sup> рассматривают угловые распределения  $\alpha$ -фрагментов в Fe + Em взаимодействиях при  $E_0 = (1,7-1,9)$  ГэВ на нуклон как сумму двух независимых распределений с температурами  $\sigma_1 \approx 10$  МэВ/с и  $\sigma_2 \approx (40-50)$  МэВ/с, причем доля  $\alpha$ -частиц второго источника составляет около одной трети от всех  $\alpha$ -частиц. Авторы работы <sup>14</sup> теоретически объясняют хвост  $\alpha$ -частиц с большими поперечными импульсами ( $P_{\perp} > 0,8$  ГэВ/с,  $\theta_{\alpha} > 2,8^{\circ}$ ) на основе модели "слипания".

Из анализа данных таблицы 2 и работ <sup>8-13</sup> следует, что угловые распределения  $\alpha$ -фрагментов уширяются,  $\langle P_{\perp} \rangle_{\alpha}$  и доля  $\alpha$ -частиц с большими  $P_{\perp}$  растет с ростом атомного номера ядра снаряда, при этом  $\langle P_{\perp} \rangle_{\alpha} \sim A^{0,25}$ .

4. Заключение. Множественность и угловые распределения  $\alpha$ -фрагментов в ядро-ядерных взаимодействиях зависят от атомного номера ядра снаряда, степени возбуждения ядра мишени и прицельного параметра. Одним механизмом — статистическим — невозможно объяснить характер  $P_{\perp}$  распределений  $\alpha$ -частиц. Вся совокупность экспериментальных данных по характеристикам  $\alpha$ -фрагментов возможно связана с возникновением в процессе взаимодействия ядер короткоживущих  $\alpha$ -кластерных структур в результате фрагментации ядра снаряда и их рассеянием на нуклонах или кластерах ядра мишени.

#### Литература

1. АБГДДЕККЛМТТУ-сотрудничество. Краткие сообщения ОИЯИ, № 12-85, с. 15, Дубна, 1985.
2. АБГДДЕЗККЛМТТУ-сотрудничество, препринт ОИЯИ, Р1-86-828, Дубна, 1986, ЯФ, 1988, 47, 157.
3. Шабратова Г.С., Андреева Н.П. и др. Сообщения ОИЯИ, Р1-86-303, Дубна, 1986.

4. АБГДДЕККЛМ-сотрудничество. Сообщения ОИЯИ, Р1-85-692, Дубна, 1985.
- 5.-7. ABCDDGKLMRTTUYZ-collaboration, 20-th ICRC, v. 5, p. 61–64, 69–72, 58 – 60, Moscow, 1987.
8. АБГДДЕЗККЛМТТУ-сотрудничество, Изв. АН СССР, 1986, 50, 2099.
9. БВДКЛМТ-сотрудничество, ЯФ, 1980, 32, 716.
10. Chernov G.M. et al. Nucl. Phys., 1984, A412, 534.
11. Bhalla K.B. et al. Nucl. Phys., 1981, A367, 446.
12. Baumgardt H.G. et al. J. Phys. G.: Nucl. Phys., 1985, 7, 175.
13. Ganssauge E. et al. J. Phys. G.: Nucl. Phys., 1985, 11, 139.
14. Колыбасов В.М., Сокольских Ю.Н. Письма в ЖЭТФ, настоящий номер.

Физический институт им. П.Н. Лебедева  
Академии наук СССР

Поступила в редакцию  
30 ноября 1987 г.